

Starkniederschlagshöhen und -spenden gemäß KOSTRA-DWD-2020

Rasterfeld 164129

(Zeile 164, Spalte 129)

Regenspende und Bemessungsniederschlagswerte in Abhängigkeit von Wiederkehrzeit T und Dauerstufe D

| Dauerstufe D | | Wiederkehrzeit T | | | | | | | | | | | | | | | | | |
|--------------|-----|------------------|------------|------|------------|------|------------|------|------------|-------|------------|-------|------------|-------|------------|-------|------------|-------|------------|
| | | 1 a | | 2 a | | 3 a | | 5 a | | 10 a | | 20 a | | 30 a | | 50 a | | 100 a | |
| min | Std | mm | l / (s ha) | mm | l / (s ha) | mm | l / (s ha) | mm | l / (s ha) | mm | l / (s ha) | mm | l / (s ha) | mm | l / (s ha) | mm | l / (s ha) | mm | l / (s ha) |
| 5 | | 6,9 | 230,0 | 8,6 | 286,7 | 9,6 | 320,0 | 10,9 | 363,3 | 12,8 | 426,7 | 14,7 | 490,0 | 16,0 | 533,3 | 17,7 | 590,0 | 20,1 | 670,0 |
| 10 | | 9,0 | 150,0 | 11,2 | 186,7 | 12,5 | 208,3 | 14,2 | 236,7 | 16,7 | 278,3 | 19,2 | 320,0 | 20,9 | 348,3 | 23,1 | 385,0 | 26,2 | 436,7 |
| 15 | | 10,4 | 115,6 | 12,8 | 142,2 | 14,3 | 158,9 | 16,3 | 181,1 | 19,1 | 212,2 | 22,0 | 244,4 | 23,9 | 265,6 | 26,4 | 293,3 | 30,0 | 333,3 |
| 20 | | 11,3 | 94,2 | 14,0 | 116,7 | 15,6 | 130,0 | 17,8 | 148,3 | 20,9 | 174,2 | 24,1 | 200,8 | 26,2 | 218,3 | 28,9 | 240,8 | 32,9 | 274,2 |
| 30 | | 12,8 | 71,1 | 15,8 | 87,8 | 17,6 | 97,8 | 20,1 | 111,7 | 23,6 | 131,1 | 27,2 | 151,1 | 29,5 | 163,9 | 32,6 | 181,1 | 37,1 | 206,1 |
| 45 | | 14,3 | 53,0 | 17,7 | 65,6 | 19,8 | 73,3 | 22,5 | 83,3 | 26,4 | 97,8 | 30,5 | 113,0 | 33,1 | 122,6 | 36,6 | 135,6 | 41,6 | 154,1 |
| 60 | 1 | 15,5 | 43,1 | 19,2 | 53,3 | 21,4 | 59,4 | 24,3 | 67,5 | 28,6 | 79,4 | 33,0 | 91,7 | 35,8 | 99,4 | 39,6 | 110,0 | 45,0 | 125,0 |
| 90 | 1,5 | 17,3 | 32,0 | 21,4 | 39,6 | 23,9 | 44,3 | 27,1 | 50,2 | 31,9 | 59,1 | 36,8 | 68,1 | 40,0 | 74,1 | 44,2 | 81,9 | 50,2 | 93,0 |
| 120 | 2 | 18,7 | 26,0 | 23,0 | 31,9 | 25,7 | 35,7 | 29,3 | 40,7 | 34,4 | 47,8 | 39,7 | 55,1 | 43,1 | 59,9 | 47,7 | 66,3 | 54,1 | 75,1 |
| 180 | 3 | 20,8 | 19,3 | 25,6 | 23,7 | 28,6 | 26,5 | 32,6 | 30,2 | 38,3 | 35,5 | 44,1 | 40,8 | 48,0 | 44,4 | 53,0 | 49,1 | 60,2 | 55,7 |
| 240 | 4 | 22,4 | 15,6 | 27,6 | 19,2 | 30,8 | 21,4 | 35,1 | 24,4 | 41,2 | 28,6 | 47,5 | 33,0 | 51,7 | 35,9 | 57,1 | 39,7 | 64,9 | 45,1 |
| 360 | 6 | 24,8 | 11,5 | 30,6 | 14,2 | 34,2 | 15,8 | 39,0 | 18,1 | 45,8 | 21,2 | 52,8 | 24,4 | 57,4 | 26,6 | 63,4 | 29,4 | 72,0 | 33,3 |
| 540 | 9 | 27,6 | 8,5 | 34,0 | 10,5 | 38,0 | 11,7 | 43,2 | 13,3 | 50,8 | 15,7 | 58,6 | 18,1 | 63,7 | 19,7 | 70,3 | 21,7 | 79,9 | 24,7 |
| 720 | 12 | 29,7 | 6,9 | 36,6 | 8,5 | 40,9 | 9,5 | 46,5 | 10,8 | 54,7 | 12,7 | 63,0 | 14,6 | 68,5 | 15,9 | 75,7 | 17,5 | 86,0 | 19,9 |
| 1080 | 18 | 32,9 | 5,1 | 40,6 | 6,3 | 45,4 | 7,0 | 51,6 | 8,0 | 60,6 | 9,4 | 69,9 | 10,8 | 76,0 | 11,7 | 84,0 | 13,0 | 95,4 | 14,7 |
| 1440 | 24 | 35,4 | 4,1 | 43,7 | 5,1 | 48,8 | 5,6 | 55,5 | 6,4 | 65,2 | 7,5 | 75,2 | 8,7 | 81,8 | 9,5 | 90,3 | 10,5 | 102,6 | 11,9 |
| 2880 | 48 | 42,2 | 2,4 | 52,1 | 3,0 | 58,2 | 3,4 | 66,2 | 3,8 | 77,8 | 4,5 | 89,7 | 5,2 | 97,5 | 5,6 | 107,8 | 6,2 | 122,4 | 7,1 |
| 4320 | 72 | 46,8 | 1,8 | 57,8 | 2,2 | 64,5 | 2,5 | 73,4 | 2,8 | 86,3 | 3,3 | 99,5 | 3,8 | 108,1 | 4,2 | 119,5 | 4,6 | 135,7 | 5,2 |
| 5760 | 96 | 50,4 | 1,5 | 62,2 | 1,8 | 69,4 | 2,0 | 79,0 | 2,3 | 92,8 | 2,7 | 107,0 | 3,1 | 116,3 | 3,4 | 128,5 | 3,7 | 146,0 | 4,2 |
| 7200 | 120 | 53,3 | 1,2 | 65,8 | 1,5 | 73,5 | 1,7 | 83,6 | 1,9 | 98,2 | 2,3 | 113,3 | 2,6 | 123,1 | 2,8 | 136,0 | 3,1 | 154,6 | 3,6 |
| 8640 | 144 | 55,9 | 1,1 | 68,9 | 1,3 | 77,0 | 1,5 | 87,6 | 1,7 | 102,9 | 2,0 | 118,6 | 2,3 | 129,0 | 2,5 | 142,5 | 2,7 | 161,9 | 3,1 |
| 10080 | 168 | 58,1 | 1,0 | 71,7 | 1,2 | 80,1 | 1,3 | 91,1 | 1,5 | 107,0 | 1,8 | 123,4 | 2,0 | 134,1 | 2,2 | 148,2 | 2,5 | 168,4 | 2,8 |

Starkniederschlagshöhen und -spenden gemäß KOSTRA-DWD-2020

Rasterfeld 164129

(Zeile 164, Spalte 129)

Örtliche Unsicherheiten in Abhängigkeit von Wiederkehrzeit T und Dauerstufe D

| Dauerstufe D | | Wiederkehrzeit T | | | | | | | | |
|--------------|-----|------------------|-----|-----|-----|------|------|------|------|-------|
| | | 1 a | 2 a | 3 a | 5 a | 10 a | 20 a | 30 a | 50 a | 100 a |
| min | Std | ± % | ± % | ± % | ± % | ± % | ± % | ± % | ± % | ± % |
| 5 | | 11 | 12 | 13 | 13 | 14 | 15 | 15 | 16 | 16 |
| 10 | | 14 | 16 | 17 | 18 | 19 | 19 | 20 | 20 | 21 |
| 15 | | 16 | 18 | 19 | 20 | 21 | 22 | 22 | 22 | 23 |
| 20 | | 17 | 19 | 20 | 21 | 22 | 23 | 23 | 24 | 24 |
| 30 | | 18 | 20 | 21 | 22 | 23 | 24 | 24 | 25 | 25 |
| 45 | | 18 | 20 | 21 | 22 | 23 | 24 | 24 | 25 | 25 |
| 60 | 1 | 18 | 20 | 21 | 22 | 23 | 24 | 24 | 25 | 25 |
| 90 | 1,5 | 17 | 19 | 20 | 21 | 22 | 23 | 23 | 24 | 25 |
| 120 | 2 | 16 | 18 | 19 | 20 | 21 | 22 | 23 | 23 | 24 |
| 180 | 3 | 15 | 17 | 18 | 19 | 20 | 21 | 22 | 22 | 23 |
| 240 | 4 | 15 | 16 | 17 | 18 | 19 | 20 | 21 | 21 | 22 |
| 360 | 6 | 14 | 15 | 16 | 17 | 18 | 19 | 20 | 20 | 21 |
| 540 | 9 | 13 | 14 | 15 | 16 | 17 | 18 | 18 | 19 | 19 |
| 720 | 12 | 12 | 14 | 14 | 15 | 16 | 17 | 17 | 18 | 18 |
| 1080 | 18 | 12 | 13 | 14 | 14 | 15 | 16 | 16 | 17 | 17 |
| 1440 | 24 | 12 | 13 | 13 | 14 | 15 | 15 | 16 | 16 | 17 |
| 2880 | 48 | 12 | 12 | 13 | 13 | 14 | 14 | 15 | 15 | 15 |
| 4320 | 72 | 13 | 13 | 13 | 13 | 14 | 14 | 14 | 15 | 15 |
| 5760 | 96 | 13 | 13 | 13 | 13 | 14 | 14 | 14 | 15 | 15 |
| 7200 | 120 | 14 | 14 | 14 | 14 | 14 | 14 | 14 | 15 | 15 |
| 8640 | 144 | 15 | 14 | 14 | 14 | 14 | 14 | 15 | 15 | 15 |
| 10080 | 168 | 15 | 15 | 14 | 14 | 14 | 15 | 15 | 15 | 15 |

Parameter für abweichende T und D

Lokationsparameter ξ (Xi)

15,81957771

Skalenparameter α (Alpha)

5,13611186

Formparameter κ (Kappa)

-0,1

1. Koutsoyiannis-Parameter θ (Theta)

0,02465847

2. Koutsoyiannis-Parameter η (Eta)

0,746008

Parameter für dauerstufenübergreifende Extremwertschätzung nach KOUTSOYIANNIS et al. 1998.

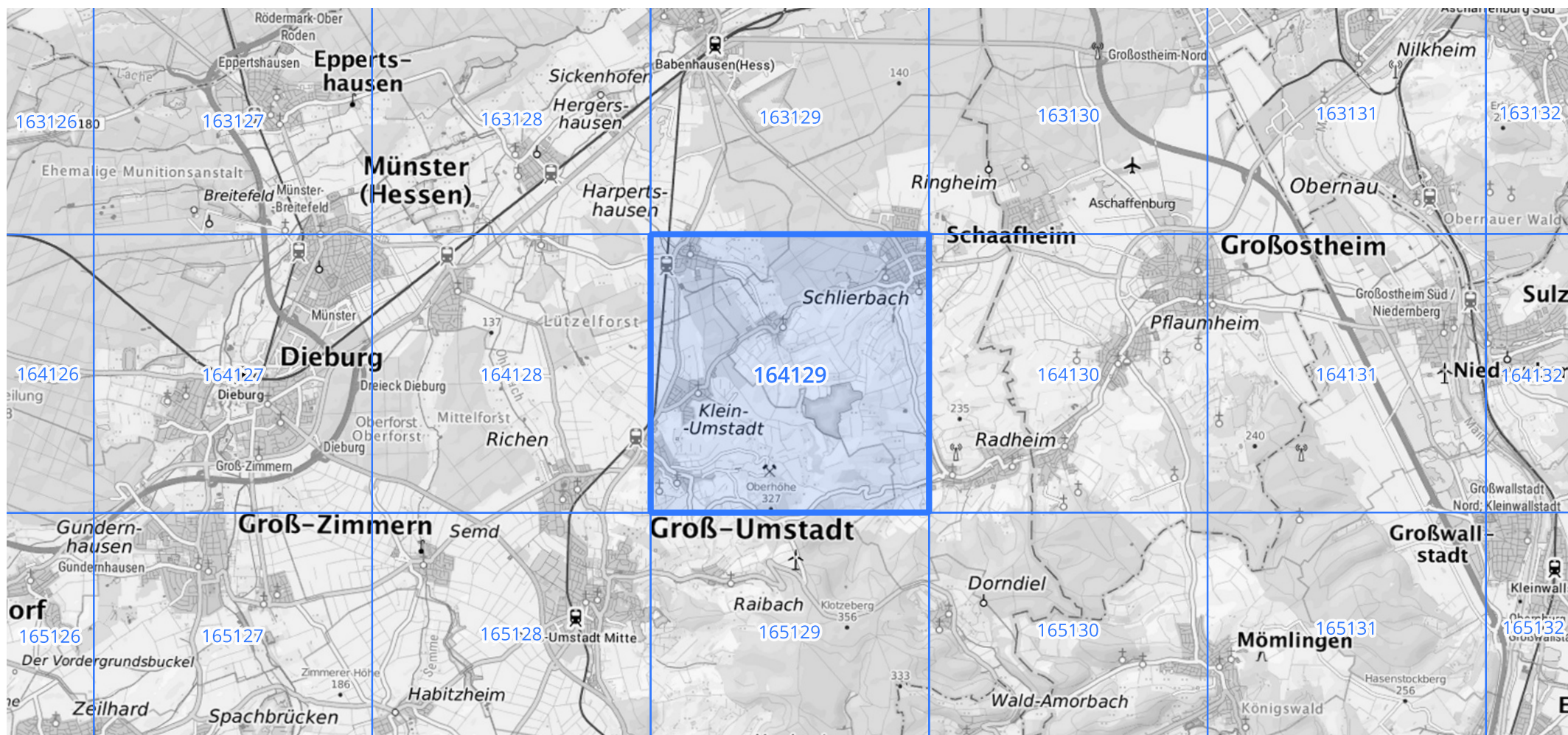
Siehe auch Anwendungshilfe zu KOSTRA-DWD-2020 des Deutschen Wetterdienstes.

Starkniederschlagshöhen und -spenden gemäß KOSTRA-DWD-2020

Rasterfeld 164129

(Zeile 164, Spalte 129)

Übersichtskarte des Rasterfeldes 164129, M 1 : 100 000



Quelle Rasterdaten: KOSTRA-DWD-2020 des Deutschen Wetterdienstes, Stand 12/2022.

Seite 3 von 3

Kartendarstellung: © Bundesamt für Kartographie und Geodäsie (2023), Datenquellen: https://sgx.geodatenzentrum.de/web_public/gdz/datenquellen/Datenquellen_TopPlusOpen.html

Für die Richtigkeit und Aktualität der Angaben wird keine Gewähr übernommen. Erstellt 01/2023.